

## КРАТКИЕ СООБЩЕНИЯ

01; 11

Журнал технической физики, т. 61, в. 5, 1991

© 1991 г.

### НЕЛИНЕЙНЫЕ ПОВЕРХНОСТНЫЕ ВОЛНЫ ДЛЯ ПРОСТЕЙШЕЙ МОДЕЛИ НЕЛИНЕЙНОЙ СРЕДЫ

П. И. Хаджи, Л. В. Федоров

В настоящее время актуальной задачей является исследование свойств нелинейных поверхностных волн (НПВ), направляемых плоской границей раздела между линейной и нелинейной средами. В работах [1, 2] исследовались свойства *s*-поляризованных НПВ для границы раздела с керровской нелинейной средой, в которой зависимость диэлектрической функции от амплитуды поля волны представляется в виде квадратичной по полю добавки. С другой стороны, в работах Каплана и др. [3, 4] в рамках нелинейного уравнения Шредингера исследовалось распространение бистабильных солитонов в неограниченной нелинейной среде, которая характеризуется скачкообразно меняющейся в зависимости от амплитуды поля диэлектрической функцией.

В данной работе представлены результаты исследований свойств *s*-поляризованных НПВ, распространяющихся вдоль границы раздела между линейной и нелинейной средами со скачкообразно меняющейся в зависимости от амплитуды поля диэлектрической проницаемостью. В [5] показано, что при учете экситон-экситонного взаимодействия в полупроводниках в определенной области спектра диэлектрическая проницаемость в зависимости от амплитуды поля изменяется практически скачкообразно, а вне этой области она может считаться не зависящей от поля. По-видимому, такая ситуация возможна в нелинейных средах, в которых возникает внутренняя обратная связь и имеет место гистерезис оптических функций в зависимости от внешнего параметра.

Найдем структуру поля и закон дисперсии *s*-поляризованных НПВ на границе раздела между линейной средой, которая описывается диэлектрической проницаемостью  $\epsilon_0$  и занимает полупространство  $z \leq 0$ , и нелинейной средой в области  $z \geq 0$ , которая характеризуется скачкообразно изменяющейся в зависимости от напряженности электрического поля волны диэлектрической проницаемостью вида

$$\epsilon = \begin{cases} \epsilon_1, & |E| < E_s, \\ \epsilon_2, & |E| > E_s, \end{cases} \quad (1)$$

где  $E_s$  — некоторое характерное поле в среде, при достижении которого происходит «переключение» оптических свойств среды с одного состояния в другое.

Предполагаем, что волна распространяется вдоль оси  $x$  с волновым вектором  $k$ , ось  $z$  направлена перпендикулярно плоской границе раздела сред, а ось  $y$  расположена в плоскости раздела. Для *s*-поляризованных НПВ в этой геометрии отличными от нуля являются компоненты полей  $H_x$ ,  $H_z$  и  $E_y$ . Исключая  $H_x$  и  $H_z$  из уравнений Максвелла, получаем следующее дифференциальное уравнение для поперечной компоненты электрического поля волны:

$$\frac{d^2E}{dz^2} = \left( k^2 - \epsilon \frac{\omega^2}{c^2} \right) E. \quad (2)$$

Отметим здесь, что *s*-поляризованные поверхностные волны не существуют на границе раздела двух линейных сред. Это является следствием условий на бесконечности и граничных условий. Их существование становится возможным, как только удается найти такую нелинейную однородную среду, в которой решение для  $E(z)$  растет при удалении от границы раздела в глубь нелинейной среды, но тем не менее на бесконечности обращается в нуль. Хотя используемая нами здесь нелинейная среда является однородной и в различных областях

сиях значений  $E$  она линейна, тем не менее удается построить требуемое для существования  $s$ -поляризованной поверхностной волны решение. В сущности оно состоит в том, что два экспоненциально убывающих хвоста (в одной и в другой средах) «закрываются» сверху (полностью сопрягаясь) «косинусной шапочкой».

В линейной среде в области  $z \leq 0$  решение уравнения (2), убывающее на бесконечности, имеет вид

$$E = E_0 \exp(q_0 z), \quad (3)$$

где

$$q_0 = \left( k^2 - \epsilon_0 \frac{\omega^2}{c^2} \right)^{1/2}, \quad (4)$$

а  $E_0$  — амплитуда поля на границе раздела сред.

В нелинейной среде, в области  $z \geq 0$ , первый интеграл уравнения (2) имеет вид

$$\left( \frac{dE}{dz} \right)^2 = q_1^2 E^2 \quad (5)$$

при  $E \leq E_s$  и

$$\left( \frac{dE}{dz} \right)^2 = -p_2^2 E^2 + C \quad (6)$$

при  $E \geq E_s$ , где

$$q_1 = \left( k^2 - \epsilon_1 \frac{\omega^2}{c^2} \right)^{1/2}, \quad p_2 = \left( \epsilon_2 \frac{\omega^2}{c^2} - k^2 \right)^{1/2}. \quad (7)$$

Из требования непрерывности тангенциальных компонент полей на границе раздела сред получаем, что параметры  $E_0$  и  $C$  выражаются через характерное поле  $E_s$  в виде

$$E_0^2 = \frac{\epsilon_2 - \epsilon_1}{\epsilon_2 - \epsilon_0} E_s^2, \quad C = \frac{\omega^2}{c^2} (\epsilon_2 - \epsilon_1) E_s^2. \quad (8)$$

Отсюда следует, что НПВ существуют в случае, если эффективный показатель преломления системы  $n = ck/\omega$  удовлетворяет соотношению  $\epsilon_1 \leq \epsilon_0 < n^2 < \epsilon_2$ .

Решение уравнения (6) в области  $0 \leq z \leq z_s$ , где  $E \geq E_s$ , имеет вид

$$E = \frac{\sqrt{C}}{p_2} \cos(p_2 z - \varphi), \quad \cos \varphi = \left( \frac{\epsilon_2 - n^2}{\epsilon_2 - \epsilon_0} \right)^{1/2}. \quad (9)$$

Отсюда видно, что по мере удаления в глубь нелинейной среды амплитуда поля  $E(z)$  сначала монотонно растет от значения  $E_0$  до

$$E_m = \sqrt{C}/p_2 = \left( \frac{\epsilon_2 - \epsilon_1}{\epsilon_2 - n^2} \right)^{1/2} E_s,$$

причем максимум амплитуды поля  $E_m$  достигается в точке

$$z = z_m = \frac{1}{p_2} \arccos \left( \frac{\epsilon_2 - n^2}{\epsilon_2 - \epsilon_0} \right)^{1/2},$$

затем поле монотонно убывает до значения  $E = E_s$  в точке

$$z = z_s = \frac{1}{p_2} \left( \arccos \sqrt{\frac{\epsilon_2 - n^2}{\epsilon_2 - \epsilon_1}} + \arccos \sqrt{\frac{\epsilon_2 - n^2}{\epsilon_2 - \epsilon_1}} \right).$$

В области  $z \geq z_s$  экспоненциально убывающее на бесконечности решение для  $E(z)$  находим из (5)

$$E = E_s \cdot \exp(-q_1(z - z_s)). \quad (10)$$

Структура профиля поля  $E(z)$  представлена на рис. 1. Поведение компоненты  $H_z$ , аналогичное в силу того, что  $H_z = (ck/\omega) E$ .

Что касается продольной компоненты магнитного поля  $H_x = (c/\omega) (dE/dz)$ , то она характеризуется наличием одного максимума и одного минимума в нелинейной среде и проходит через нуль в точке  $z = z_m$ .

Определим поток энергии  $P$ , переносимый электромагнитной волной. Для этого проинтегрируем по всем  $z$  от  $-\infty$  до  $+\infty$  усредненную во времени продольную компоненту вектора Умова—Пойнтинга. В результате получаем

$$P = \frac{c^2 E_s^2}{16\pi\omega} \frac{(\epsilon_2 - \epsilon_1) n}{\epsilon_2 - n^2} \left\{ \frac{1}{\sqrt{n^2 - \epsilon_0}} + \frac{1}{\sqrt{n^2 - \epsilon_1}} + \frac{1}{\sqrt{\epsilon_2 - n^2}} \left( \arccos \sqrt{\frac{\epsilon_2 - n^2}{\epsilon_2 - \epsilon_0}} + \arccos \sqrt{\frac{\epsilon_2 - n^2}{\epsilon_2 - \epsilon_1}} \right) \right\}. \quad (11)$$

Полный поток энергии  $P$  состоит из суммы потоков в линейной  $P_L$  и нелинейной  $P_{NL}$  областях соответственно  $P = P_L + P_{NL}$ . Поток энергии в линейной области выражается формулой

$$P_L = \frac{c^2 E_s^2}{16\pi\omega} \frac{(\epsilon_2 - \epsilon_1) \cdot n}{(\epsilon_2 - \epsilon_0) \sqrt{n^2 - \epsilon_0}}. \quad (12)$$

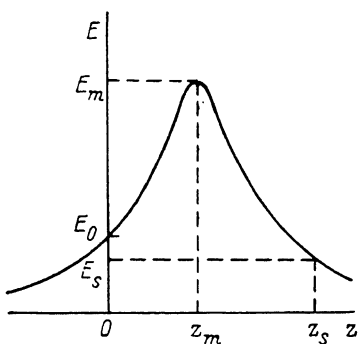


Рис. 1. Пространственный профиль напряженности электрического поля волны.

из (11) и (12), при  $n \rightarrow \max(\sqrt{\epsilon_0}, \sqrt{\epsilon_1})$  подавляющая часть потока переносится волной в линейной области, тогда как при  $n \rightarrow \sqrt{\epsilon_2}$  неограниченно растет часть потока  $P_{NL}$  в нелинейной среде. По мере удаления от этих крайних значений обе части потока ( $P_L$  и  $P_{NL}$ ) убывают, что и обеспечивает появление минимума у функции  $P(n)$ .

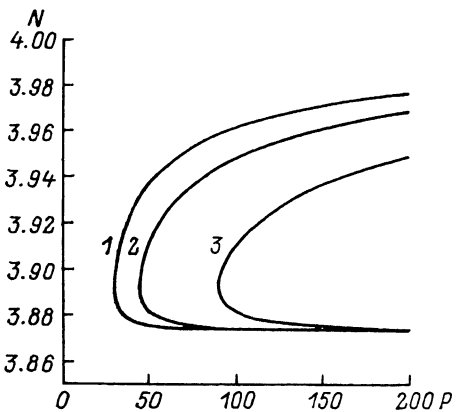


Рис. 2. Зависимость эффективного показателя преломления  $n$  от нормированного полного потока энергии  $P/P_0$ , ( $P_0 = (c^2 E_s^2)/(16\pi\omega_0)$ ) при  $\epsilon_0 = 15$ ,  $\epsilon_1 = 14$ ,  $\epsilon_2 = 16$ , для трех значений параметра  $x = \omega/\omega_0$ .

1 — 1.5, 2 — 1.0, 3 — 0.5.

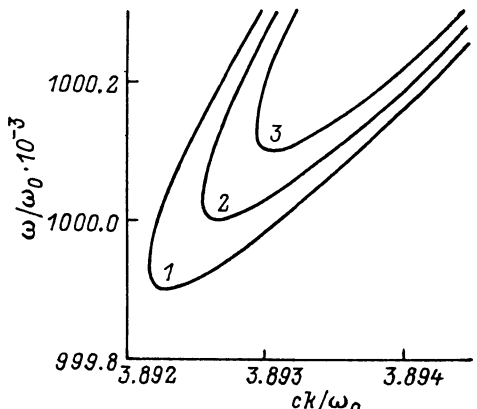


Рис. 3. Закон дисперсии s-поляризованной поверхностной волны при  $\epsilon_0 = 15$ ,  $\epsilon_1 = 14$ ,  $\epsilon_2 = 16$  для трех значений параметра  $P/P_0$ .

1 — 44.689, 2 — 44.684, 3 — 44.679.

Зная зависимость  $n(P)$ , легко получить закон дисперсии НПВ  $\omega(k)$  при фиксированном потоке энергии  $P$  (рис. 3). График закона дисперсии  $\omega(k)$  располагается в створке, образованной прямыми  $\omega = ck/\sqrt{\epsilon_2}$  и  $\omega = ck/\sqrt{\max(\epsilon_1, \epsilon_0)}$ . В зависимости от величины потока дисперсионная кривая смещается внутри створки, удаляясь либо приближаясь к началу координат.

Что касается положения  $z_m$  и величины  $E_m$  максимума профиля поля  $E(z)$ , то они также определяются потоком энергии. Заметим, что рассматриваемые НПВ не существуют при  $E_0 < E_s$ .

### Список литературы

- [1] Tomlinson W. J. // Opt. Lett. 1980. Vol. 5. N 7. P. 323—325.
- [2] Maradudin A. A. // Z. Phys. 1981. Vol. B41. N 4. P. 341—344.
- [3] Kaplan A. E. // Phys. Rev. 1985. Vol. 55. N 12. P. 1291—1294.
- [4] Enns R. H., Rangnekar S. S., Kaplan A. E. // Phys. Rev. 1987. Vol. A36. N 3. P. 1270—1279.
- [5] Хаджи П. И., Славов Ю. Д. // УЖФ. 1988. Т. 33. № 6. С. 824—827.

Институт прикладной физики  
АН МССР  
Кишинев

Поступило в Редакцию  
19 ноября 1989 г.  
В окончательной редакции  
24 сентября 1990 г.

01; 03

Журнал технической физики, т. 61, в. 5, 1991

© 1991 г.

## СПЕКТРАЛЬНЫЙ МЕТОД ЗАМЫКАНИЯ УРАВНЕНИЙ РАЗВИТОЙ АНИЗОТРОПНОЙ ТУРБУЛЕНТНОСТИ: СКЕЙЛИНГ, ДАЛЬНОДЕЙСТВИЕ, ПАМЯТЬ

C. P. Богданов

В работе [1] осуществлен расчет параметров развитой изотропной турбулентности за решеткой на основе гипотезы о масштабной инвариантности (скейлинге) длинноволновых флуктуаций поля скорости. Одна из основных трудностей, возникающих при обобщении этого метода на случай турбулентности со сдвигом, заключается в отыскании неизотропной формы спектральных тензоров. Известные попытки их непосредственной параметризации с помощью тензора рейнольдсовых напряжений  $\bar{u_i} \bar{u_j}$ , а также тензора средних скоростей деформаций  $U_{i,j} \equiv \partial U_i / \partial x_j$  [2, 3], строго говоря, оправданы лишь для случая слабой анизотропии.

С другой стороны, в работе [4] были сформулированы ослабленные формы гипотезы подобия Колмогорова, учитывающие возможные нарушения локальной изотропии в инерционном интервале. Их использование применительно ко всему диапазону длинноволновых возмущений позволяет в рамках гипотезы скейлинга записать следующее факторизованное представление для спектральных тензоров при  $k \ll k_d$ :

$$F_{i,j}(x, k) = f_{i,j}(x, \theta) \varphi(kr_c); \quad T_{i,l, j}(x, k) = f_{i,l, j}(x, \theta) t(kr_c). \quad (1)$$

Здесь  $k_d = (\bar{\epsilon}/\eta^3)^{1/4}$  — диссипативное волновое число,  $\bar{\epsilon}$  — средняя скорость диссипации энергии,  $\eta$  — коэффициент кинематической вязкости,  $r_c$  — корреляционный радиус турбулентности,  $F_{i,j}(x, k) = (2\pi)^{-3} \int \bar{u}_i(x) \bar{u}_j(x + r) \exp(-ikr) dr$ ,  $T_{i,l, j}$  — кубичный по скоростям двухточечный спектральный тензор,  $\theta = k/k_d$ ,

Есть основания предполагать [5], что набор секулярных параметров анизотропной турбулентности в общем случае включает помимо  $\bar{\epsilon}$  и  $r_c$  лишь небольшое число низших ориентационных моментов функций  $f_{i,j}$ , определяемых следующим образом:

$$f_{i,j}^{(\ell \dots m)}(x) = \int f_{i,j}(x, \theta) \theta_l \dots \theta_m d\theta. \quad (2)$$

Здесь интегрирование осуществляется по поверхности единичной сферы. Момент нулевого порядка  $f_{i,j}^{(0)}$  определяет среднее по ориентациям значение функции  $f_{i,j}$ .